

سَلَامٌ عَلَى الْمُرْسَلِينَ



دانشگاه اصفهان

دانشکده علوم

گروه فیزیک

پایان نامه کارشناسی ارشد رشته فیزیک گرایش اتمی مولکولی

بررسی تاثیر ضخامت لایه میانگیر بر کارایی سلول‌های خورشیدی نانومتری
CdTe/CdS

استادان راهنما:

دکتر حمیدرضا فلاح

دکтор مرتضی حاجی محمودزاده

پژوهشگر:

فائزه دهقان

آبان ماه ۱۳۹۱

کلیه حقوق مادی مترتب بر نتایج مطالعات، ابتكارات
و نوآوریهای ناشی از تحقیق موضوع این پایان نامه
متعلق به دانشگاه اصفهانا است.



دانشگاه اصفهان

دانشکده علوم

گروه فیزیک

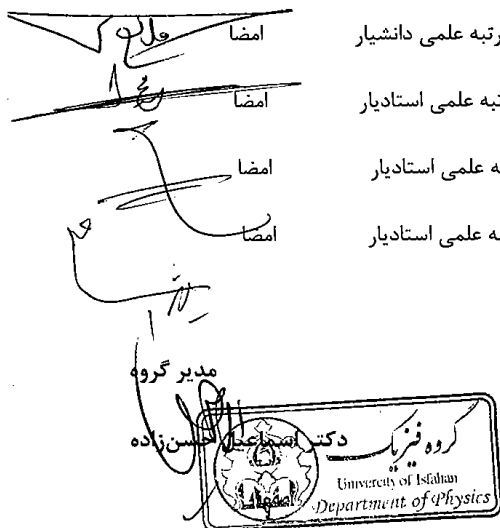
پایان نامه‌ی کارشناسی ارشد رشته‌ی فیزیک گرایش اتمی مولکولی خانم فائزه دهقان

تحت عنوان

بررسی تأثیر ضخامت لایه‌ی میانگیر بر کارایی سلول‌های خورشیدی نانومتری CdTe/CdS

س

در تاریخ ۹۱/۰۸/۲۹ توسط هیأت داوران زیر بررسی و با درجه به تصویب نهایی رسید.



۱- استاد راهنمای پایان نامه دکتر حمیدرضا فلاج با مرتبه علمی دانشیار

۲- استاد راهنمای پایان نامه دکتر مرتضی حاجی محمودزاده با مرتبه علمی استادیار

۳- استاد داور داخل گروه دکتر مجتبی مستجاب الدعواتی با مرتبه علمی استادیار

۴- استاد داور خارج از گروه دکتر فریبرز جهانشاه با مرتبه علمی استادیار

سپاس خدا برای نعمت های بی درینی که به من ارزانی داشت.

سپاس بیکران برهمی و همکامی پرور مادر لوز و مربا نم که سجده هی ای شارشان گل محبت را در وجودم پروراند و دامن گهر ارشان
خط های مربانی را به من آسموخت.

سپاس بیکران از همسر عزیزم باست همراهی، صبر و بردباری بی پایانش.

تَعْدِيمُهُ

امام عصر عِنْدَ اللَّهِ تَعَالَى فِرْجَهُ الْشَّرِيفُ

پدر میربانم

مادر لوزم

همسر عزیزم

خواهر خوبم

چکی ده:

سلول‌های خورشیدی متشکل از قطعات نیم‌رسانایی هستند که مستقیماً انرژی تابشی خورشید را به انرژی الکتریکی تبدیل می‌کنند. امروزه سلول‌های خورشیدی سیلیکونی به صورت صنعتی و با بازدهی بالا تولید می‌شوند، ولی هزینه تولید آنها بسیار زیاد است. تحقیقات زیادی در زمینه سلول‌های خورشیدی برپایه CdTe صورت گرفته است از جمله مزایای این سلول‌های خورشیدی می‌توان به بازده بالا، قیمت کمتر و حساس نبودن نسبت به زاویه تابش نور خورشید و تغییرات درجه حرارت اشاره کرد. سلول خورشیدی CdTe/CdS نمونه‌ای از یک پیوندگاه است که، روی بستره شیشه‌ای لایه نشانی شده با اکسید رسانای شفاف که به عنوان الکترود جلویی به کار می‌رond، ساخته می‌شوند. گاف انرژی کادمیوم تلوراید برابر $1/45\text{eV}$ است. این گاف انرژی بسیار نزدیک به گاف انرژی بهینه برای سلول خورشیدی می‌باشد، و از این نظر ماده مناسبی برای سلول‌های فتوولتائیک لایه نازک است. چون ضربه جذب CdTe بالاست ($5 \times 10^5 \text{ cm}^{-1}$) می‌تواند همه فوتون‌های با انرژی بیش از $1/45\text{eV}$ را جذب کند. کادمیوم سولفاید نیز با گاف انرژی $2/45\text{eV}$ و رسانای خوب معمولاً همراه با استفاده می‌شود. استفاده از لایه نازک کادمیوم سولفاید شیوه‌ای برای بالا بردن کارایی دستگاه است. در این پایان نامه تحت ساختار سلول خورشیدی CdTe/CdS بررسی می‌کنیم. سپس سلول خورشیدی را با دو لایه رسانای شفاف ITO و SnO₂ و شبیه‌سازی کرده و خاتمه لایه سلول را به این ساختار می‌بخشم. بهینه‌سازی کرده، و تأثیر خاتمه لایه‌های میانگیز ZnO-ZnTe، As₂Te₃، Sb₂Te₃ را بر هر دو سلول خورشیدی بررسی کرده‌می‌باشد. در نهایت بهترین طراحی ما منجر به شبیه‌سازی سلول خورشیدی CdTe/CdS با ساختار SnO₂(30nm)/CdS(20nm)/CdTe(1μm)/ZnTe(20nm)/Au می‌باشد، زیانک تلوراید با ساختار آنتی‌موان تلوراید، ارسنیک تلوراید، اکسید روی

کلمات کلیدی: سلول خورشیدی، کادمیوم تلوراید، کادمیوم سولفاید، لایه میانگیز، زیانک تلوراید،

فهرست مطالب

صفحه	عنوان
۱.....	فصل اول: سلول‌های فتوولتائیک
۱.....	۱-۱ مصرف انرژی
۳.....	۲-۱ انرژی خورشیدی و مزای آن
۴.....	۳-۱ سلول‌های فتوولتائیک
۶.....	۱-۳-۱ سلول‌های خورشیدی معدنی
۷.....	۱-۱-۳-۱ سلول‌های خورشیدی سیلیکونی
۱۰.....	۲-۱-۳-۱ سلول‌های خورشیدی CdTe/CdS
۱۱.....	۳-۱-۳-۱ سلول‌های خورشیدی CIGS
۱۲.....	۲-۳-۱ سلول‌های خورشیدی آلی
۱۴.....	۱-۲-۳-۱ انواع سلول‌های خورشیدی آلی:
۱۷.....	۴-۱ مقایسه انواع سلول‌های خورشیدی
۱۸.....	فصل دوم: سلول‌های خورشیدی CdTe/CdS
۱۹.....	۱-۲ سلول‌خورشیدی CdTe/CdS
۱۹.....	۲-۲ بسترہ
۲۰.....	۳-۲ لایه‌اتصال بالای (الکترود شفاف)
۲۱.....	۴-۲ لایه‌هینجرهای CdS
۲۴.....	۵-۲ لایه‌جاذب CdTe
۲۳.....	۶-۲ لایه‌اتصال پیشتری
۲۵.....	۷-۲ لایه‌های میانگیر
۲۶.....	۸-۲ عملیات $CdCl_2$

۲۹ CdTe/CdS	فصل سوم: شبیه‌سازی و بهی‌نه‌سازی ضخامتلای‌های سلول‌خورشیدی
۲۷ مقدمه	۱-۳
۲۸ SnO₂ بالای هرسانای شفاف	۲-۳ شبیه‌سازی سلول‌خورشیدی CdTe/CdS
۲۹ (SnO₂) بهی‌نه‌سازی ضخامتلای‌هاتصالبالایی	۱-۲-۳
۳۳ CdS بهی‌نه‌سازی ضخامتلای‌هپنجرهای	۲-۲-۳
۳۵ CdTe بهی‌نه‌سازی ضخامتلای‌هچاذب	۳-۲-۳
۳۷ CdTe/CdS اثر دمای نقطه‌کاربر پارامترهای سلول‌خورشیدی	۴-۲-۳
۴۳ CdTe/CdS بالای همی‌انگی ر	۳-۳ شبیه‌سازی سلول‌خورشیدی
۴۰ Sb₂Te₃ ۱-۳-۳ شبیه‌سازی سلول‌خورشیدی بالای همی‌انگی ر	
۴۰ SnO₂ ۱-۳-۱-۱-۳-۳ بهی‌نه‌سازی ضخامتلای	
۴۱ CdS ۲-۱-۳-۳ بهی‌نه‌سازی ضخامتلای	
۴۲ CdTe ۳-۱-۳-۳ بهی‌نه‌سازی ضخامتلای	
۴۴ As₂Te₃ ۲-۳-۳ شبیه‌سازی سلول‌خورشیدی بالای همی‌انگی ر	
۴۵ ZnTe ۳-۳-۳ شبیه‌سازی سلول‌خورشیدی بالای همی‌انگی ر	
۴۶ SnO₂ ۱-۳-۳-۳ بهی‌نه‌سازی لای‌هاتصالبالایی	
۴۸ CdS ۲-۳-۳-۳ بهی‌نه‌سازی ضخامتلای‌هپنجرهای	
۵۰ CdTe ۳-۳-۳-۳ بهی‌نه‌سازی لای‌بههمراه‌لای‌همی‌انگی ر	
۵۳ ZnTe ۴-۳-۳-۳ بهی‌نه‌سازی ضخامتلای‌همی‌انگی ر	
۵۵ اثر تابع کار لای‌هاتصال پشتی ۵-۳-۳-۳	
۵۶ ZnO ۴-۳-۳ شبیه‌سازی سلول‌خورشیدی بالای همی‌انگی ر	
۵۶ SnO₂ ۱-۴-۳-۳ بهی‌نه‌سازی ضخامتلای	
۵۷ ZnO ۲-۴-۳-۳ بهی‌نه‌سازی ضخامتلای	
۶۴ CdS ۳-۴-۳-۳ بهی‌نه‌سازی ضخامتلای	
۶۵ CdTe ۴-۴-۳-۳ بهی‌نه‌سازی ضخامتلای	

۶۶	۳-۳-۴-۱۵- اثر تابعکار لایه ها تصالیپشتی
۶۳	۳-۳-۴-۶- پالایش عددی طراحی های پیشین
۶۴	۴-۳- شبیه سازی سلول خورشیدی CdTe/CdS با لایه هر سانی شفاف ITO
۶۴	۴-۳- ۱- شبیه سازی سلول خورشیدی CdTe/CdS بدنلایی همی انگیز
۶۵	۳-۴-۱- ۱- بهی نه سازی ضخامت لایه هر سانی شفاف ITO
۶۷	۳-۴-۲- بهی نه سازی ضخامت لایه هنجرهای CdS
۷۰	۳-۴-۳- بهی نه سازی ضخامت لایه هجاذب CdTe
۷۲	۳-۴-۲- شبیه سازی سلول خورشیدی CdTe/CdS با لایه همی انگیز Sb ₂ Te ₃
۷۳	۳-۴-۳- شبیه سازی سلول خورشیدی CdTe/CdS با لایه همی انگیز As ₂ Te ₃
۷۴	۳-۴-۴- شبیه سازی سلول خورشیدی CdTe/CdS با لایه همی انگیز ZnTe
۷۴	۳-۴-۴-۱- بهی نه سازی ضخامت لایه ITO
۷۶	۳-۴-۴-۲- بهی نه سازی ضخامت لایه CdS
۸۳	۳-۴-۴-۳- بهی نه سازی ضخامت لایه CdTe
۷۹	۴-۴-۴-۴- بهی نه سازی ضخامت لایه ZnTe
۸۰	۴-۴-۴-۵- اثر فلزات مختلف فر پارامترهای سلول خورشیدی CdTe/CdS
۸۱	۵-۳- بررسی اثر ضخامت لایه هجاذب CdTe
۸۵	فصل چهارم: نتیجه گیری و پیشنهادها
۸۵	۴-۱- نتیجه گیری
۸۷	۴-۲- پیشنهادها
۸۸	الف پیوست
۹۴	مراجع

فهرست شکل‌ها

عنوان.....	صفحه
فصل اول: سلول‌های فتوولتائیک.....	۱
شکل ۱-۱ : سهم منطقه‌ای از مصرف انرژی در جهان.....	۳
شکل ۲-۱: نمایی کلی از سلول‌های خورشی‌دی معدنی	۷
شکل ۳-۱ : نمونه‌یار یک سلول خورشیدی سیلیکونی p-i-n.....	۹
شکل ۴-۱ : انعطاف‌پذیر یک سلول خورشیدی CIGS.....	۱۱
شکل ۱-۵ : تصویر SEM رسمتر است سطح مقاطع سلول‌های خورشی‌دی CIGS و سمتچی تصویر SEM.....	۱۲
شکل ۱-۶ : سلول‌های خورشی‌دی آلی تکلای‌های	۱۴
شکل ۱-۷ : سلول‌های خورشی‌دی آلی دولای‌های	۱۵
شکل ۱-۸ : سلول‌های آلی p-i-n	۱۵
شکل ۱-۹ : تشکی لاسکای تونسلول‌های مخلوط از پیوند ناهمگن	۱۶
شکل ۱-۱۰ : مقایسه تولی دتجاری انواع سلول‌های معدنی	۱۷
فصل دوم: سلول‌های خورشی‌دی CdTe/CdS	۱۸
شکل ۲-۱: نمایی از سلول خورشی‌دی CdTe/CdS	۱۸
شکل ۲-۲ : سلول خورشیدی CdTe/CdS در وضعیت‌های الف- رولا یهوب - زی رلا یه	۱۹
شکل ۲-۳: شبکه بلوری کادمی و متلوراید	۲۳
شکل ۴-۲ : ترازهای انرژی پیوندگاهاتصال پشتی فلز/نیمرسانا	۲۴
فصل سوم: شبیه‌سازی و بهینه‌سازی ضخامت لایه‌های سلول خورشی‌دی CdTe/CdS	۲۷
شکل ۳-۱: نمایی از سلول خورشی‌دی بالای هرسانای شفاف SnO ₂	۲۹
شکل ۳-۲: نمایی از ساختار چهار وجهی روتایل SnO ₂	۳۰
شکل ۳-۳ : اثر ضخامت لایه SnO ₂ بر روی پارامترهای سلول خورشی‌دی CdS/CdTe : (الف) ولتاژ مدار بار، (ب) چگالی جریان مدار کوتاه، (ج) ضریب پرشدنگی، (د) کارایی	۳۳
شکل ۳-۴ : نمودار چگالی جریان بر حسب ولتاژ در هر دو حالت تاریک و روشن در ضخامت بهینه SnO ₂	۳۱
شکل ۳-۵ : نمودار ظرفی تنایی هسته‌ی در ضخامت ۲۵ نانومتر لایه هرسانای شفاف SnO ₂	۳۲

- شکل ۶-۳ : نمودار بازده کوانتومی در ضخامت بهی نه₂SnO₂ ۳۲
- شکل ۷-۳ : اثر ضخامت لایه CdS/CdTe بر روی پارامترهای سلول خورشی دی (الف) ولتاژ مدار باز، (ب) چگالی جری اندامار کوتاه، (ج) ضری بپرشدگی، (د) بازده ۳۳
- شکل ۸-۳ : منحنی جری انباز ترکی بی چگالی جری اینبر حسوب لذتaz ۳۴
- شکل ۹-۳ : نمودار ظرفی تناحی هتھی در ضخامت ۲۰ نانومتر لایه پنجرهای CdS ۳۴
- شکل ۱۰-۳ : نمودار بازده کوانتومی در ضخامت بهی نه لایه CdS ۳۵
- شکل ۱۱-۳ : اثر ضخامت لایه CdTe/CdTe بر روی پارامترهای سلول خورشی دی (الف) ولتاژ مدار باز، (ب) چگالی جری اندامار کوتاه، (ج) ضری بپرشدگی، (د) بازده ۳۶
- شکل ۱۲-۳ : منحنی بازده کوانتومی برای سلول خورشی دی CdTe/CdS در ضخامت های مختلف ۳۶
- شکل ۱۳-۳ : اثر دمای نقطه کار بر روی پارامترهای سلول خورشی دی CdS/CdTe (الف) ولتاژ مدار باز، (ب) چگالی جری اندامار کوتاه، (ج) ضری بپرشدگی، (د) بازده ۳۷
- شکل ۱۴-۳ : اثر ضخامت لایه SnO₂ بر روی پارامترهای سلول خورشی دی CdS/CdTe بالای همی انگیز : (الف) ولتاژ مدار باز، (ب) چگالی جری اندامار کوتاه، (ج) ضری بپرشدگی، (د) بازده ۴۱
- شکل ۱۵-۳ : اثر ضخامت لایه CdS بر روی پارامترهای سلول خورشی دی CdS/CdTe بالای همی انگیز : (الف) ولتاژ مدار باز، (ب) چگالی جری اندامار کوتاه، (ج) ضری بپرشدگی، (د) بازده ۴۵
- شکل ۱۶-۳ : اثر ضخامت لایه CdTe بر روی پارامترهای سلول خورشی دی CdTe/CdS با لایه می انگیز Sb₂Te₃ : (الف) ولتاژ مدار باز، (ب) چگالی جری اندامار، (ج) ضری ب پرشدگی، (د) بازده ۴۳
- شکل ۱۷-۳ : تصویر سمت راست منحنی J-V در روشنایی و تصویر سمت چپ منحنی لگاریتمی چگالی جری ان باز ترکی ب بر حسب ولتاژ Sb₂Te₃ ۴۴
- شکل ۱۸-۳ : صویر سمت راست منحنی J-V در روشنایی و تصویر سمت چپ منحنی لگاریتمی چگالی جری ان باز ترکی ب بر حسب ولتاژ As₂Te₃ ۴۵
- شکل ۱۹-۳ : نمایی از سلول خورشی دی CdS/CdTe بالای همی انگیز ZnTe ۴۶
- شکل ۲۰-۳ : کل اثر ضخامت لایه SnO₂ بر روی پارامترهای سلول خورشی دی CdS/CdTe به همراه لایه همی انگیز ZnTe (الف) ولتاژ مدار باز، (ب) چگالی جری اندامار کوتاه، (ج) ضری بپرشدگی، (د) بازده ۴۷
- شکل ۲۱-۳ : مشخصه جری ان ولتاژ در حالت تاریکور و شندر ضخامت بهی نه لایه SnO₂ ۴۷
- شکل ۲۲-۳ : نمودار ظرفی تناحی هتھی در ضخامت ۳۰ نانومتر لایه هر سانی شفاف SnO₂ ۴۸
- شکل ۲۳-۳ نمودار بازده کوانتومی بر حسب طول موج در ضخامت بهی نه₂SnO₂ ۴۸
- شکل ۲۴-۳ کل

- اثر ضخامتلای $CdS/CdTe$ بر روی پارامترهای سلول خورشیدی $ZnTe$: الف) ولتاژ مدار باز، ب) چگالی جری اندامار کوتاه، ج) ضربی پر شدگی، د) بازده ۴۹
- شکل ۳-۲۵ : نمودار چگالی جری ان بر حسب ولتاژ در ضخامت بهی نه CdS ۵۰
- شکل ۳-۲۶ : منحنی بازده کوانتومی بر حسب طول موج در ضخامت ۲۰ نانومتر ۵۰
- شکل ۳-۲۷ : اثر ضخامتلای $CdTe/CdS$ بر روی پارامترهای سلول خورشیدی $ZnTe$: الف) ولتاژ مدار باز، ب) چگالی جری اندامار کوتاه، ج) ضربی پر شدگی، د) بازده ۵۱
- شکل ۳-۲۸ : نمودار چگالی جری ان بر حسب ولتاژ در ضخامت یک میکرون $CdTe$ ۵۲
- شکل ۳-۲۹ : نمودار بازده کوانتومی در ضخامت های مختلفی هجاذب $CdTe$ ۵۲
- شکل ۳-۳۰ : اثر ضخامتلای بهی انگی ر $ZnTe$ بر پارامترهای سلول خورشیدی $ZnTe$: الف) ولتاژ مدار باز، ب) چگالی جری اندامار کوتاه، ج) ضربی پر شدگی، د) بازده ۵۴
- شکل ۳-۳۱ : مشخصه هجری اول ولتاژ در حالت تاری کی و روشنایی در ضخامت بهی نه $ZnTe$ ۵۵
- شکل ۳-۳۲ : منحنی مشخصه هجری اول ولتاژ باتابعکارهای مختلف در روشنایی ۵۵
- شکل ۳-۳۳ : نمایی از سلول خورشیدی $CdTe/CdS$ بالای هبافر ZnO ۵۶
- شکل ۳-۳۴ : اثر ضخامت لایی SnO_2 بر روی پارامترهای سلول خورشیدی $CdS/CdTe$ با لایی هبافر ZnO : الف) ولتاژ مدار باز، ب) چگالی جری ان مدار کوتاه، ج) ضربی ب پر شدگی، د) بازده ۵۷
- شکل ۳-۳۵ : اثر ضخامتلای ZnO بر روی پارامترهای سلول خورشیدی $CdS/CdTe$ بالای بهی انگی ر ZnO : الف) ولتاژ مدار باز، ب) چگالی جری اندامار کوتاه، ج) ضربی ب پر شدگی، د) بازده ۵۸
- شکل ۳-۳۶ : منحنی مشخصه هجری ان - ولتاژ در حالت تاری کوروسنبرای لایی ZnO ۵۸
- شکل ۳-۳۷ : منحنی بازده کوانتومی بر حسب طول موج در ضخامت ۱۰ نانومتر برای لایی ZnO ۵۹
- شکل ۳-۳۸ : اثر ضخامتلای CdS بر روی پارامترهای سلول خورشیدی $CdS/CdTe$ بالای بهی انگی ر ZnO : الف) ولتاژ مدار باز، ب) چگالی جری اندامار کوتاه، ج) ضربی ب پر شدگی، د) بازده ۶۰
- شکل ۳-۳۹ : اثر ضخامتلای $CdTe$ بر روی پارامترهای سلول خورشیدی $CdS/CdTe$ بالای بهی انگی ر ZnO : الف) ولتاژ مدار باز، ب) چگالی جری اندامار کوتاه، ج) ضربی ب پر شدگی، د) بازده ۶۱
- شکل ۳-۴۰ : منحنی V -های اتصال پشتی از فلزات باتوابعکار مختلف ۶۲
- شکل ۳-۴۱ : منحنی بازده کوانتومی برای اتصال پشتی از فلزات باتوابعکار مختلف ۶۳
- شکل ۳-۴۲ : منحنی x -شی ای تابع (x) بر حسب f ۶۴
- شکل ۳-۴۳ : نمایی از سلول خورشیدی $CdTe/CdS$ بالای هرسانی شفاف ITO ۶۵
- شکل ۳-۴۴ : اثر ضخامتلای ITO بر روی پارامترهای سلول خورشیدی $CdS/CdTe$: الف) ولتاژ مدار باز، ب) چگالی جری اندامار کوتاه، ج) ضربی ب پر شدگی، د) بازده ۶۶

- شکل ۳-۴۵ : منحنی مشخصه‌جری ان-ولتاژ در حالتاری کوروشنبرای لایه ITO ۶۷
- شکل ۳-۴۶ : منحنی بازده کوانتمی در ضخامت ۵۰ نانومتر برای لایه ITO ۶۷
- شکل ۳-۴۷ : اثر ضخامت‌لایه CdS بر روی پارامترهای سلول‌خورشی دی CdS/CdTe : (الف) ولتاژ مدار باز، (ب) چگالی جری ان‌مدار کوتاه، (ج) ضری بپرشدگی، (د) بازده ۶۸
- شکل ۳-۴۸ : منحنی مشخصه‌جری ان‌ولتاژ در ضخامت‌بهی نه CdS ۶۹
- شکل ۳-۴۹ : منحنی بازده کوانتمی در ضخامت ۴۰ نانومتر برای لایه CdS ۶۹
- شکل ۳-۵۰ : منحنی ظرفی تناحی هتھی بر حسب ولتاژ در ضخامت ۴۰ نانومتر CdS ۷۰
- شکل ۳-۵۱ : اثر ضخامت‌لایه CdTe بر روی پارامترهای سلول‌خورشی دی CdS/CdTe : (الف) ولتاژ مدار باز، (ب) چگالی جری ان‌مدار کوتاه، (ج) ضری بپرشدگی، (د) بازده ۷۱
- شکل ۳-۵۲ : منحنی بازده کوانتمی بر حسب طول موج در ضخامت‌های مختلف لایه جاذب CdTe ۷۱
- شکل ۳-۵۳ : منحنی مشخصه‌جری ان-ولتاژ تصوی رسم‌تراس ۷۲
- منحنی تاری کی، تصوی رسم‌تچیم منحنی روشنایی ۷۲
- شکل ۳-۵۴ : منحنی بازده کوانتمی بر حسب طول موج سلول‌خورشی دی CdTe/CdS بالای همی آنگی ر ۷۳ Sb₂Te₃ ۷۳
- شکل ۳-۵۵ : منحنی مشخصه‌جری ان-ولتاژ تصوی رسم‌تراس ۷۳
- منحنی تاری کی، تصوی رسم‌تچیم منحنی روشنایی ۷۳
- شکل ۳-۵۶ : نمایی از سلول‌خورشی دی CdTe/CdS بالکترو دشاف ZnTe به همراه لایه بافر ۷۴
- شکل ۳-۵۷ : اثر ضخامت‌لایه ITO بر روی پارامترهای سلول‌خورشی دی CdS/CdTe بالای همی آنگی ر ZnTe : (الف) ولتاژ مدار باز، (ب) چگالی جری ان‌مدار کوتاه، (ج) ضری بپرشدگی، (د) بازده ۷۵
- شکل ۳-۵۸ : منحنی مشخصه‌جری ان‌ولتاژ در حالتاری کوروشن سلول‌خورشی دی CdTe/CdS به همراه لایه همی آنگی ر ZnTe ۷۶
- شکل ۳-۵۹ : اثر ضخامت‌لایه CdS بر روی پارامترهای سلول‌خورشی دی CdS/CdTe بالای همی آنگی ر ZnTe : (الف) ولتاژ مدار باز، (ب) چگالی جری ان‌مدار کوتاه، (ج) ضری بپرشدگی، (د) بازده ۷۷
- شکل ۳-۶۰ : منحنی مشخصه‌جری ان‌ولتاژ در حالتاری کوروشن سلول‌خورشی دی CdTe/CdS به همراه لایه همی آنگی ر ZnTe ۷۷
- شکل ۳-۶۱ : منحنی بازده کوانتمی در ضخامت‌بهی نه لایه CdS ۷۸
- شکل ۳-۶۲ : اثر ضخامت‌لایه CdTe بر روی پارامترهای سلول‌خورشی دی CdS/CdTe بالای همی آنگی ر ZnTe : (الف) ولتاژ مدار باز، (ب) چگالی جری ان‌مدار کوتاه، (ج) ضری بپرشدگی، (د) بازده ۸۴
- شکل ۳-۶۳ : اثر ضخامت‌لایه ZnTe بر روی پارامترهای سلول‌خورشی دی CdS/CdTe بالای همی آنگی ر ZnTe : (الف) ولتاژ مدار باز، (ب) چگالی جری ان‌مدار کوتاه، (ج) ضری بپرشدگی، (د) بازده ۸۰

.....	شکل ۳-۶۴: منحنی جذب در لای CdTe _a بر حسب ضخامت	۸۲
.....	شکل ۳-۶۵: منحنی جذب در لای CdTe _a بر حسب ضخامت بادرنظر گرفتن مقاومت	۸۳
.....	پی و ستالف	۸۹
.....	شکل الف-۱: صفحه ورودی نرم افزار	۸۹
.....	شکل الف-۲: اطلاعات مورد نیاز برای لایه‌های مختلف سلول خورشیدی	۹۰
.....	شکل الف-۳: تغییرات در یک لایه	۹۱
.....	شکل الف-۴: پنجره نمودارها	۹۲
.....	شکل الف-۵: ذخیره سازی نمودار	۹۲
.....	شکل الف-۶: تغییر پارامترهای خورشیدی با متغیرهای وابسته	۹۲

فهرست جدول‌ها

عنوان	صفحه
فصل دوم: سلول‌های خورشیدی CdTe/CdS ۱۸	
جدول ۲-۱ : تابعکارفلزهای مختلف ۲۵	
فصل سوم: شبیه‌سازی و بهینه‌سازی ضخامت لایه‌های سلول خورشیدی CdTe/CdS ۲۷	
جدول ۳-۱ پارامترهای استفاده شده در شبیه‌سازی ۲۸	
جدول ۳-۲ : اختلاف پارامترهای سلول‌خورشیدی با مقاومت‌های سری و موازی ۳۹	
جدول ۳-۳ : پارامترهای سلول‌خورشیدی CdTe/CdS بالای همی‌انگیز ۴۴	
جدول ۳-۴ اثر مواد بتابعکار مختلف بر پارامترهای سلول‌خورشیدی CdTe/CdS بالای همی‌انگیز ۵۵	
جدول ۳-۵ اثر مواد بتابعکار مختلف بر پارامترهای سلول‌خورشیدی CdTe/CdS بالای همی‌انگیز ۶۲	
جدول ۳-۶ پارامترهای سلول‌خورشیدی CdTe/CdS بالای همی‌انگیز ۷۲	
جدول ۳-۷ : اثر تابعکارفلزات مختلف بر پارامترهای سلول‌خورشیدی ۸۱	

فصل اول

سلول‌های فتوولتائیک

۱-۱ مصرف انرژی

بشر از دیرباز با به کارگی ری انرژی‌های فراوان و در دسترس طبیعت در پی گشودن دریچه‌ای تازه به روی خود بوده است و علاوه بر آسان‌تر کردن کارها، فعالیت‌های خود را با کمترین هزینه و بالاترین سرعت به انجام

می‌رساند و گامی برای آسایش بیشتر بر می‌دارد. تحریم‌ها و جنگ‌های اخیر اهمیت موضوع انرژی را بیش از پیش نمایان کرد. از این‌که سو جوامع صنعتی و شهرهای بزرگ با مشکل آلودگی محیط‌زیست روبرو هستند و از طرف دیگر نیاز به مواد اولیه و سوخت مورد نیاز برای تأمین انرژی حتی سریعتر از رشد جمعیت و توسعه مناطق رو به افزایش است. کشور ایران از بزرگترین و مهم‌ترین کشورهای دارای منابع انرژی فسیلی دنیا است. انرژی استفاده شده در سرتاسر جهان در سال ۲۰۰۵ به طور متوسط ۱۲ TW بوده است. یک چهارم از کل انرژی به تنهاً ایالات متحده امریکا استفاده شده است و ۸۵٪ از کل انرژی به سوخت‌های فسیلی (نفت، زغال سنگ و گاز طبیعی) مربوط می‌شود [۱]. بر اساس آمار سال ۲۰۰۵-۲۰۰۶ ایران با تولید سالانه ۲۱۶ میلیون تن نفت خام و ۱۳۲ میلیون تن صادرات، با سهم ۵/۵ درصدی از بازار تولید نفت دنیا و با تولید ۹۸۱۲۳ میلیون متر مکعب گاز سهم ۳/۳ درصدی، دومین کشور دارای

ذخایر گاز وی کمی از بازیگران اصلی انرژی دنی است [۲]. پیش بینی می شود تا سال ۲۰۵۰ مقدار مصرف انرژی به بیش از ۳۰ TW برسد. حال این سوال مطرح می شود که این انرژی از کجا تأمین می شود؟ آیا منابع انرژی موجود کافی هستند؟ منابع انرژی به دو دسته غیرتجددی و تجدیدپذیر تقسیم می شوند. مهم ترین منابع انرژی غیرتجددی را شامل سوخت های فسیلی (نفت، زغال سنگ و گاز طبیعی) و همچنان برخی از هسته های سنگین است. بیش از ۸۰٪ درصد کل مصرف جهانی انرژی از سوخت های فسیلی و تنها حدود ۱۰٪ از نیروهای هسته ای تأمین می شود [۳، ۴]. سوخت های فسیلی علاوه بر مزایای فراوان، سالیانه چندین میلیون تن گاز NO_2 و CO که حاصل از سوختن ذغال است در جو زمین رها می کنند و باعث بالا رفتن دمای کره زمین می شوند. تغییرهای دمای کره زمین در حال افزایش بوده و در دهه های آینده احتمالاً شاهد بلای ای طبیعی و اثرات وی ران کننده جبران ناپذیری در زمین برای انسان ها و دیگر موجودات و گیاهان خواهیم بود. همچنان علاوه بر فاجعه های زیست محیطی در اثر استفاده از سوخت های فسیلی این منابع محدود بوده و بالاخره به اتمام می رساند. استفاده از انرژی هسته ای به عنوان جایگزین سوخت های فسیلی چندان موفقیت آمیز نبوده و علاوه بر صرف هزینه های سنگین، تشعشعات خطرناک نیروگاه های هسته ای زیاد هم مقرن به صرفه نیست. پس مانند بسیار خطرناک پرتوزا بانی مه عمر بسیار طولانی که از سوخت های هسته ای ایجاد می شود چنانچه در محیط به همین نحو رها شود برای انسان ها و محیط زیست بسیار خطرناک می باشد [۵]. به دلیل حساسیت در مسائل زیست محیطی و کاهش وابستگی به سوخت های فسیلی، خطر حوادث هسته ای، مشکلات نگهداری ضایعات هسته ای و محدود بودن این منابع توجه به استفاده از انرژی های تجدیدپذیر مانند انرژی باد، انرژی آب (انرژی جذر و مد و انرژی پتانسیل رودخانه ها)، انرژی زمین گرمایی و به ویژه انرژی خورشیدی معطوف شده است [۶]. منبع این انرژی ها منابع طبیعی هستند که نه تمام می شوند و نه اثرات زیان بار زیست محیطی دارند. از ویژگی های اصلی این انرژی ها نداشتن ضایعات مضر و همیشه در دسترس بودن است. شکل ۱-۱ روند تقاضای انرژی در زمان گذشته و حال را در کشورهای مختلف نشان می دهد. گزارش های اخیر نشان دهنده استفاده کشورهای مختلف از این انرژی ها به ویژه انرژی خورشیدی است.